



MICROFICHE N°

04547

République Tunisienne

MINISTÈRE DE L'AGRICULTURE

CENTRE NATIONAL DE
DOCUMENTATION AGRICOLE
TUNIS

الجمهورية التونسية
وزارة الزراعة

المركز القومي
للتثقيف الفلاحي
تونس

F

CNDA 4547

DIRECTION
DES RESSOURCES EN EAU

MODELISATION DES ECOULEMENTS D'OUED OUM EZZESSAR
A KOUTINE

-- 88 --

MARS 1987

M. FERSI
A. GHORBEL

v -

REPUBLIQUE TUNISIENNE
MINISTERE DE L'AGRICULTURE

DIRECTION
DES RESSOURCES EN EAU

CND A 4547

MODELISATION DES ECOULEMENTS D'OUED OUM EZZESAR

A KOUTINE

-- 81 --

MARS 1987

N. FERSI

A. GHORBI

SOMMAIRE

I- INTRODUCTION

II- PRÉSENTATION DU MODÈLE

2-1 Fonction de production

2-2 données pour le modèle

2-2-1 Les données pluviométriques utilisées

2-2-2 Les débits

2-2-3 Calage du modèle

2-2-4 Commentaire sur les résultats

III- PHASE D'EXTENSION

3-1 Utilisation de deux stations de longue durée d'observation

3-1-1 Calage du modèle

3-1-2 Extension des séries des lames écoulées

3-2 Utilisation d'une seule station

3-2-1 Calage du modèle

3-2-2 Phase d'extension

IV- CONCLUSION

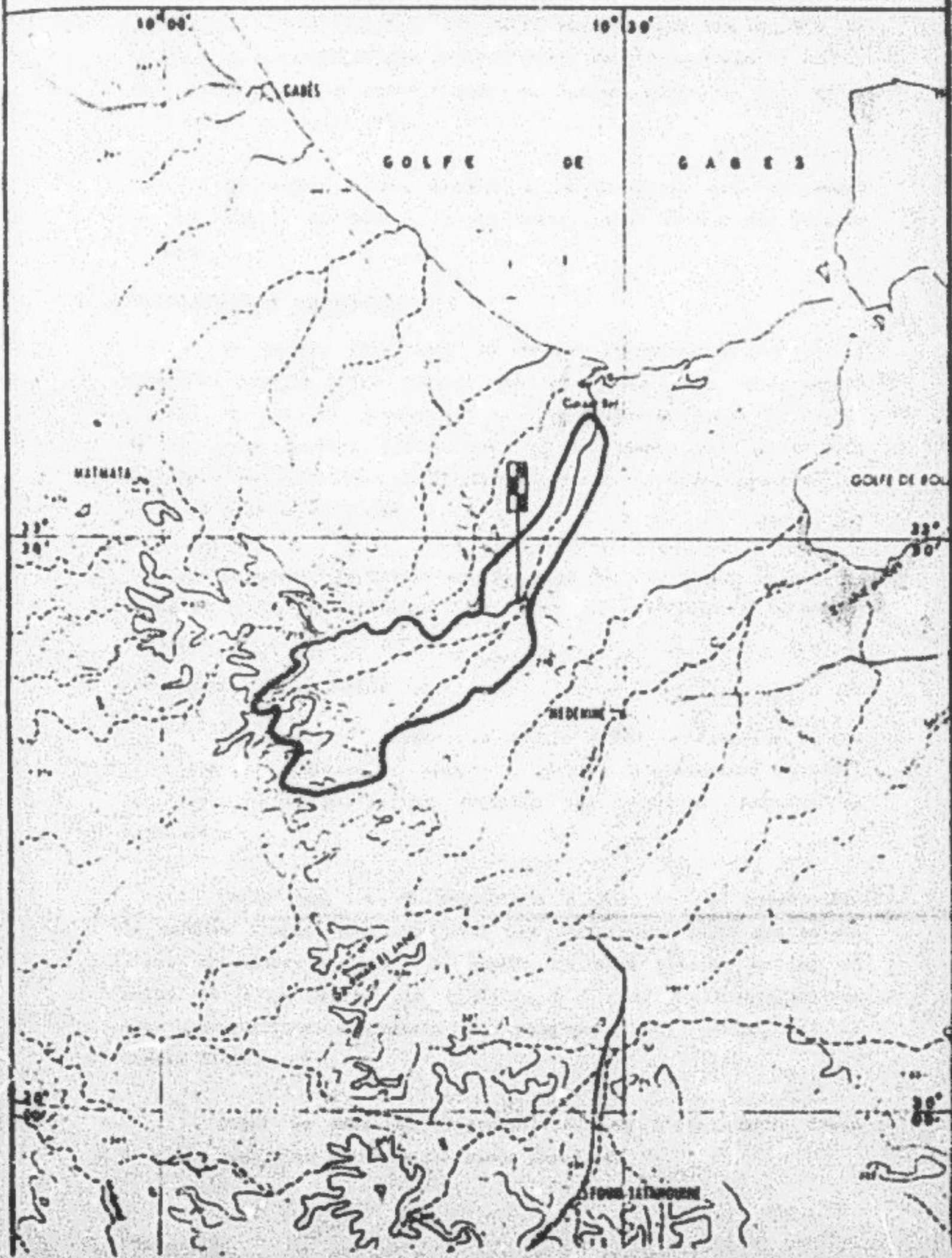
BIBLIOGRAPHIE

-8-

QUELQUES TERRAINS A ROUTINER

CARTE DE SITUATION

Echelle 1/500000



I- INTRODUCTION :

Pour l'estension des séries des caractéristiques d'écoulement nous allons utiliser un outil thématique susceptible de fournir la chronologie des apports d'eau de ruissellement à partir des informations pluviométriques de longue durée de la région : il s'agit du modèle DREAU.

Ce modèle a été élaboré à la Direction des Ressources en Eau. Par A. GHORBEL. Il a été testé jusqu'à sur des bassins du Nord.

II- PRÉSENTATION DU MODÈLE (1) :

Le modèle DREAU est un modèle déterministe global. Il considère donc le bassin versant comme une seule unité. Le découpage du B.V. en mailles carrées est utilisé uniquement pour le calcul de la pluie moyenne journalière sur le bassin par la méthode de Thiessen (calcul des coefficients de pondération des pluviomètres utilisés pour la simulation).

Le nombre de maille est fonction donc du nombre de pluviomètre et de la précision de calcul sur les coefficients de pondération.

2-1 FONCTION DE PRODUCTION :

Comme il est global, le modèle DREAU ne comporte qu'une seule partie principale, visant à décrire l'écoulement vertical de l'eau. Cette partie est désignée par le terme "fonction de production".

Cette fonction de production a pour but de représenter de manière simple, mais réaliste, les différentes voies que suivra l'eau atmosphérique entre le moment où elle atteint le sol et celui où elle rejoint la rivière. L'origine d'alimentation en eau atmosphérique du bassin est uniquement les pluies pour le modèle DREAU.

Avant sa mise en disponibilité pour l'écoulement, l'eau de pluie sera mise à divers processus physiques.

I- INTRODUCTION :

Pour l'extension des séries des caractéristiques d'écoulement nous allons utiliser un outil mathématique susceptible de fournir la chronologie des apports d'eau de ruissellement à partir des informations pluviométriques de longue durée de la région : il s'agit du modèle DREAU.

Ce modèle a été élaboré à la Direction des Ressources en Eau. Par A. GHORBEL. Il a été testé jusqu'à sur des bassins du Nord.

II- PRÉSENTATION DU MODÈLE (1) :

Le modèle DREAU est un modèle déterministe global. Il considère donc le bassin versant comme une seule unité. Le découpage du B.V. en mailles carrées est utilisé uniquement pour le calcul de la pluie moyenne journalière sur le bassin par la méthode de Thiessen (calcul des coefficients de pondération des pluviomètres utilisés pour la simulation).

Le nombre de maille est fonction donc du nombre de pluviomètre et de la précision de calcul sur les coefficients de pondération.

2-1 FONCTION DE PRODUCTION :

Comme il est global, le modèle DREAU ne comporte qu'une seule partie principale, visant à décrire l'écoulement vertical de l'eau. Cette partie est désignée par le terme "fonction de production".

Cette fonction de production a pour but de représenter de manière simple, mais réaliste, les différentes voies que suivra l'eau atmosphérique entre le moment où elle atteint le sol et celui où elle rejoint la rivière. L'origine d'alimentation en eau atmosphérique du bassin est uniquement les pluies pour le modèle DREAU.

Avant sa mise en disponibilité pour l'écoulement, l'eau de pluie sera mise à divers processus physiques.

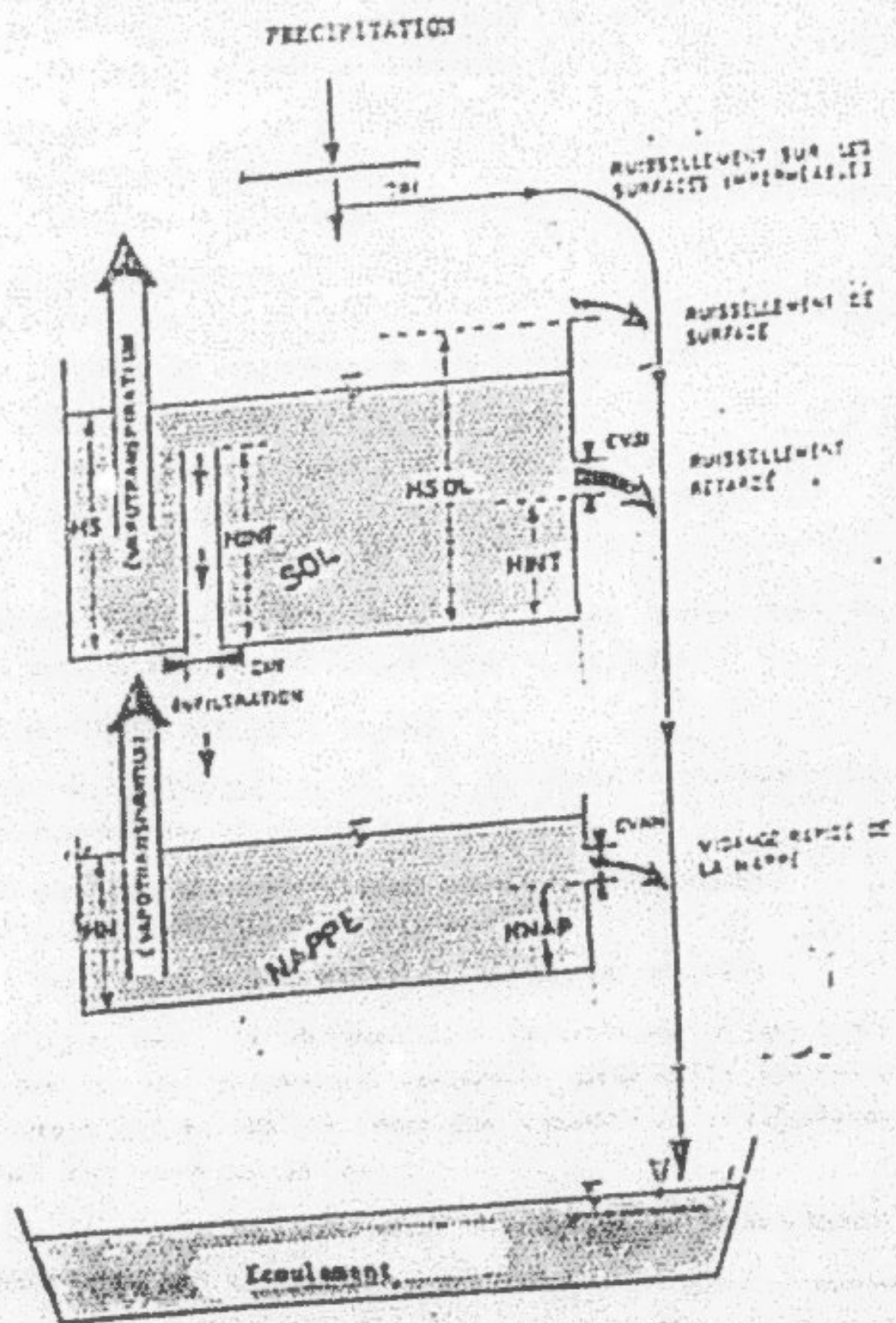


Figure 8.1 . Schéma de production du modèle DREAU

- Sol : Pourcentage de surface imperméable : 8 % pour une lame supérieure à 18mm.
- . Hauteur du réservoir sol : 122 m
- . Hauteur du niveau d'infiltration : 90 m
- . Hauteur de vidange intermédiaire : 116 m
- Nappe :
 - . Hauteur de vidange : 5,0
 - . Coefficient de vidange : 0
- Evapotranspiration :
 - . ETP : 4,00 mm
 - . Hauteur de prélèvement à taux potentiel : 50
- Valeurs initiales :
 - . Réservoir sol : 0mm
 - . Réservoir nappe : 0
 - . Débit moyen (m^3/s) : 0

Remarquons, à la fin de chaque année hydrologique le retour aux valeurs initiales des réservoirs sol et nappe.

2-2-4 Commentaire sur les résultats :

2-2-4-1 Pluviométrie : sur le fichier pluviométrique nous avons remarqué les situations suivantes

- * des décalages systématiques ou non de jour de pluie
- * des cumuls de deux jours de pluie
- * des erreurs de transcription (virgule mal placée).

D'autre part, la décomposition conventionnelle en jours de pluie des épisodes pluvieux exceptionnels présente le phénomène de l'écoulement qui en déroule comme des phénomènes individualisés ; ce qui n'est réellement pas le cas.

Ces situations se répercutent directement ou indirectement sur les débits calculés :

- le décalage dans les jours de pluies peut être à l'origine de crues fictives si le seuil de ruissellement est atteint ; la décomposition en jours de pluie d'un épisode pluvieux exceptionnel peut être à l'origine de la réduction des débits et son étallement sur quelques jours.

.../...

2-2-4-2 Lames d'eau écoulées : Nous remarquons que pour le cas d'un bassin du Sud tunisien où l'écoulement est lié à quelques jours de pluie de certaine importance dont le nombre est faible, l'écoulement annuel, ou mensuel se confond souvent avec l'écoulement d'un ou deux jours.

* Lames d'eau annuelles écoulées : Dans le tableau ci-dessous on donne les lames d'eau annuelles écoulées observées et calculées de 4 années (1976-1980) utilisées pour le calage du modèle DREAU.

Année	Lame d'eau annuelle observée (mm)	Lame d'eau annuelle calculée (mm)	Ecart absolu	Ecart relatif en %
1976-1977	1,6	1,4	0,2	12,5
1977-1978	1,3	1,3	0	0
1978-1979	41,3	40,0	-1,3	3,15
1979-1980	4,1	1,9	-2,2	53,6 %

* Lames d'eau mensuelles écoulées : Les lames mensuelles calculées et observées sont consignées au tableau suivant :

Années	S	O	N	D	J	F	M	A	M	J	J ^t	A ^t
1976-77C	0	1,6	0	0	0	0	0	0	0	0	0	0
0	0	1,8	0	0	0	0	0	0	0	0	0	0
Ecart	0	0,2	0	0	0	0	0	0	0	0	0	0
1977-78C	0,6	0	0,0	0	0,6	0	0	0	0	0	0	0
0	0,6	0	0,6	0	0	0	0,1	0	0	0	0	0
Ecart	0	0	-0,6	0	0,6	0	-0,1	0	0	0	0	0
1978-79C	0	0	0	0	0	1,3	38,6	0,1	0	0	0	0
0	0	0,2	0,1	0	0	0,1	41,0	0	0	0	0	0
Ecart	0	-0,2	-0,1	0	0	1,2	-2,4	0,1	0	0	0	0
1979-80C	0,2	0	0	0	0	0	1,7	0	0	0	0	0
0	2,0	0	0,3	0	0	0	1,5	0,3	0	0	0	0
Ecart	-1,8	0	-0,3	0	0	0	0,2	-0,3	0	0	0	0

* Lames écoulées à l'échelle de crue : Pour échapper aux problèmes que pose le décalage horaire entre la journée de pluie (de 7 à 8H) et la journée d'écoulement (de 0H à 20H) nous allons considérer les lames d'eau écoulées à l'échelle de l'évenement crue.

Le tableau ci-dessous récapitule les hauteurs écoulées des crues observées et simulées.

Année	crue du	observée (mm)	calculée (mm)	Ecart	Ecart relatif %
1976-1977	8 et 9/10/1976	1,41	1,63	0,2	14,1
1977-1978	29 et 30/09/77	0,56	0,59	0,03	5,4
	9 et 10/11/77	0,42	0,047	0,05	14,9
	25/11/1977	0,18	0	0,18	-
	17/01/1978	0	0,63	0,63	-
	9 et 10/03/78	0,13	0	0,13	-
1978-1979	25 et 26/10/78	0,20	0	0,20	-
	7/11/1978	0,09	0	0,09	-
	26/02/1979	0,08	1,26	1,16	-
	3 et 4/03/79	41,0	38,6	-2,4	5,8
	9 et 10/04/79	2,0	0,22	-1,78	-
	29/09/1979	0,03	0	-0,03	-
	22 et 23/11/79	0,27	0	-0,27	-
	26 et 27/02/80	1,5	1,73	0,23	5,3
	12 et 13/03/80	0,33	0	-0,33	-

L'examen des trois tableaux suscite les remarques suivantes :

- Sur les quatre années de simulation, une seule crue a été simulée par le modèle et n'a pas été observée. Cette crue correspond à une pluie d'hiver de faible intensité dont la hauteur moyenne sur le bassin est de 25,9 mm. Le modèle se comporte de la même manière pour deux pluies de même quantité (mais d'intensité différentes). Il faut noter que ce type de pluies (dont la hauteur dépasse 20mm et dont l'intensité est faible) est rare.
 - 7 faibles crues dont les lames écoulées n'ont pas dépassé 0,33 mm observées n'ont pas été simulées. Elles correspondent à des pluies où la distribution des stations pluviométriques sur le bassin s'avère incompatible pour une bonne définition de la pluie moyenne.
- Quant aux écarts remarqués entre les lames calculées et les lames observées pour le reste des crues ils sont relativement grands pour deux crues :

.../...

. la crue du 26 février 1979 qui vient suite à un épisode pluvieux important en hauteur dont l'intensité n'est pas suffisante pour générer un ruissellement aussi important.

. la crue du 9 et 10 septembre 1979 est provoquée par une pluie d'intensité importante dont l'épicentre est situé à l'aval du bassin : la distribution des stations pluviométriques est là aussi incompatible pour une bonne estimation de la pluie moyenne.

Notons enfin de compte le bon comportement du modèle en simulant le phénomène exceptionnel du 3 et 4 mai 1979 : l'écart relatif lame calculée - lame mesurée est de 5,3 %.

A l'échelle annuelle nous remarquons que l'écart maximum sur les lames écoulées est de 2,2 mm et que l'erreur relative ne dépasse pas 12,5 % pour toutes les années à l'exception de l'année 1979-80 où elle atteind 50 %.

III- PHASE D'EXTENSION DES DONNÉES :

3-1 Utilisation de deux stations de longue durée d'observation :

3-1-1 Calage du modèle : Le bon comportement du modèle sur les 4 années de calage nous a encouragé à envisager l'utilisation de cet outil pour l'extension des séries des lames écoulées. Pour se faire et en raison des courtes durées d'observation des stations précédemment utilisées nous avons dû reprendre le calage du modèle en utilisant deux stations pluviométriques de longues périodes d'observation, situées en dehors du bassin ; il s'agit des stations de Matmata et de Medenine auxquelles nous avons affecté les coefficients de pondération solution de système d'équations suivantes :

$$P_{\text{Moy}} \text{ à Matmata} = 222,3 \text{ m}$$

$$152,4 x_1 + 222,3 x_2 = 180 \text{ avec } P_{\text{Moy}} \text{ à Medenine} = 152,4 \text{ m}$$

$$x_1 + x_2 = 1 \quad P_{\text{Moy}} \text{ sur le bassin} = 180 \text{ m}$$

7 années observées (1973-1980) servent pour le calage du modèle. Nous obtenons avec les paramètres de calages suivants :

.../...

-----S3-

POURCENTAGE DE SURFACE IMPERFETTE 5.0% POUR UNE LAME SUPERIEURE A 20.0MM
HAUTEUR DU RESERVOIR SOL (EP) = 55.0
HAUTEUR DU NIVEAU D INFILTRATION = 25.0

HAUTEUR DE VIDANGE INTERMEDIAIRE = 25.0

COEFFICIENT D INFILTRATION = 0.1500 INFILTRATION PAYIALE = 10.00 MM/JOUR
COEFFICIENT DE VIDANGE INTERMEDIAIRE = 0.6000

-----NAPPE

HAUTEUR DE VIDANGE HAUTE = 5.0 COEFFICIENT DE VIDANGE HAUTE = 0.

-----EVAPOTRANSPIRATION

ETP = 4.00
HAUTEUR DE PRELEVEMENT A TALE FONCE = 50.0
POURCENTAGE EVAPORATION DE LA NAPPE = 10.0

-----VALEURS INITIALES

RESERVOIR SOL = 7.00
RESERVOIR NAPPE = 0.00
DEBIT MOY INITIAL EN M3/S = 0.

Les résultats consignés au tableau suivant :

* à l'échelle annuelle :

Année	Lame d'eau annuelle calculée (mm)	Lame d'eau annuelle observée (mm)	Ecart absolu	Ecart relatif en %
1973-1974	32,0	37,7	-5,7	15,1
1974-1975	2,3	0,5	1,8	360
1975-1976	25,8	21,3	4,5	21,1
1976-1977	0,0	1,4	-1,4	100
1977-1978	1,3	1,3	0	0
1978-1979	47,6	43,7	3,9	8,9
1979-1980	1,0	0,1	-3,1	75,6

On note que si l'erreur relative peut atteindre et dépasser 100 % avec un écart n'ayant pas dépassé 3,1 mm, pour les années exceptionnelles le modèle donne des résultats satisfaisants avec une erreur relative sur la moyenne de 7,9 %.

Pour les années déficitaires, le modèle donne des ordres de grandeur acceptables. Cependant, les écarts relatifs enregistrés sont importants. En considérant la lame d'eau éculée moyenne de ces années nous obtenons un écart relatif proche de -40 %. L'erreur relative sur les 7 années est de 0 %.

En plus des erreurs expliquées au premier calage on peut ajouter le fait que nous avons utilisé deux stations qui ne sont pas toujours soumis aux mêmes phénomènes régionales. Cet état de chose contribue à donner des valeurs sous estimées mais satisfaisant en ordre de grandeur.

Remarquons que les erreurs trouvées sur le fichier pluviométriques de type, rencontrées dans le premier calage ont été corrigées.

D'autre part, pour les événements exceptionnels, vécus nous avons éliminé le découpage conventionnel de jours de pluie en considérant l'épisode pluvieux comme étant étale sur 24H00.

.../...

3-1-2 Extension des séries des lames écoulées : Nous allons utiliser la série d'années pluviométriques complètement observées jour par jour communes aux deux stations. Elle s'étend du 1er septembre 1903 au 31 Août 1973 en éliminant les années comportant des lacunes soit 56 années sur le fichier pluviométrique, nous avons corrigé en consultant les archives, les erreurs du type suivant :

- décalage de jours de pluie
- erreurs de transcription

Le découpage des épisodes pluvieux en jours conventionnels de pluie n'a pas été touché (exception faite de quelques événements représentés dans leur ensemble par l'une des deux stations comme étant jour de pluie).

* Lames d'eaux annuelles écoulées : Dans le tableau ci-dessous sont consignées les lames d'eau annuelles écoulées calculées à l'aide du modèle en face des lames d'eau calculées par la relation hydropluviométrique.

LAMES D'EAU ANNUELLES ESTIMÉES CALCULÉES

Ordre	Année	Lame écoulée		Modèle	Année	Lame d'eau		Modèle	Année
		calculée	RPH			calculée	RPH		
1	1903-1904	9,63	9,5	29	1935-1936	0	0	0	
2	1904-1905	0,0	0	30	1936-1937	0	1,35		
3	1905-1906	9,0	9,1	31	1937-1938	2,4	3,7		
4	1906-1907	2,12	2,75	32	1938-1939	2,6	3,45		
5	1907-1908	0	0	33	1939-1940	1,34	1,36		
6	1908-1909	0	0	34	1940-1941	3,7	9,4		
7	1909-1910	0	0	35	1941-1942	0	0		
8	1910-1911	0	0	36	1944-1945	0,93	0,42		
9	1911-1912	0	0	37	1945-1946	4,73	12,1		
10	1912-1913	0	0	38	1946-1947	1,7	2,6		
11	1913-1914	0,13	0,10	39	1947-1948	2,97	1,65		
12	1914-1915	8,64	16,2	40	1948-1949	1,9	1,9		
13	1915-1916	2,4	3,0	41	1950-1951	2,14	2,7		
14	1916-1917	0	0,30	42	1951-1952	1,33	4,37		
15	1917-1918	1,24	1,53	43	1953-1954	4,8	1,09		
16	1918-1919	7,36	3,0	44	1955-1956	1,52	1,58		
17	1919-1920	0	0,47	45	1958-1959	1,01	3,37		
18	1920-1921	5,5	23,0	46	1959-1960	7,7	17,2		
19	1921-1922	0	0	47	1961-1962	4,8	3,2		
20	1922-1923	66,6	74,5	48	1962-1963	6,8	11,8		
21	1923-1924	0	0	49	1964-1965	4,91	1,55		
22	1924-1925	1,8	1,09	50	1965-1966	0,6	0		
23	1925-1926	2,33	3,46	51	1966-1967	0,6	6,49		
24	1926-1927	2,5	8,4	52	1968-1969	0	0,11		
25	1927-1928	2,9	12,3	53	1969-1970	61,7	176,9		
26	1928-1929	6,81	0,19	54	1970-1971	0	0,03		
27	1929-1930	0,93	8,1	55	1971-1972	0,02	3,74		
28	1930-1931	16,4	24,1	56	1972-1973	0	0,3		
29	1931-1932	197,7	271,9						
30	1932-1933	0	0,13						
31	1933-1934	18,1	33,3						

En plus des erreurs commises au premier calage l'utilisation des pluies journalières enregistrées à Matmata et à Medenine pour définir les pluies journalières sur le bassin entraîne une situation trop artificielle en gonflant le nombre de jours de pluie et par voie de conséquence en réduisant l'importance d'un grand nombre de hauteurs de pluie journalières surtout lorsque les deux stations sont soumises à des situations climatiques différentes ou simplement du fait du décalage des dates de pluie. Ceci s'est répercuté sur les résultats obtenus qui s'écartent d'une manière très sensible de ceux obtenus par la corrélation.

3-2 Utilisation d'une seule station :

3-2-1 Calage du modèle : Pour palier à cette difficulté nous allons confondre les pluies sur le bassin aux pluies observées d'abord à Matmata puis à Medenine sachant que la première station présente une situation pluviométrique plus favorable et la deuxième une situation défavorable. Les paramètres de calage sont conservés.

A l'échelle annuelle :

Nous donnons dans le tableau suivant les résultats de simulation à l'échelle annuelles :

Année	H _{R1} (mm)	P (mm)	H _{R2} (mm)	P ₂ (mm)	H _R observé	P observé
1973-1974	53,7	330,8	25,8	210,3	37,7	222,9
1974-1975	8,5	310,3	0,9	244,2	0,5	191,5
1975-1976	391	554,8	37,9	550,1	21,3	586,3
1976-1977	0,1	114,9	6,4	134,5	1,4	81,6
1977-1978	1,1	149,9	1,9	148,5	1,3	160,1
1978-1979	72,8	446,7	45,9	260,5	43,7	308,0
1979-1980	2,1	148,4	4,1	190,8	4,1	176
1980-1981	3,3	221,6	0,0	127,3	17,8	137,7
1981-1982	0,2	125,0	1,0	111,0	0,0	112,7

Nous désignons par :

H₁ = Hauteur d'eau ruisselée simulée en utilisant les relevés de Matmata

P₁ = total de pluie de l'année correspondant

H₂ = Hauteur d'eau ruisselée simulée en utilisant les relevés de Medenine

P_2 = total de pluie annuel correspondant

HR = Hauteur observée

P = Total de pluie annuel correspondant.

Nous remarquons que pour les années exceptionnelles, les valeurs définies à partir des relevés de Matmata corrigées par les rapports total annuel moyen sur le bassin-total annuel relevé à Matmata s'écartent trop peu des valeurs observées (14,9 %).

La valeur de l'année 1980-1981 n'a pas pu être approchée par les deux simulations et ceci est dû à l'averse de novembre 1980, importante et intense, qui s'est localisée à l'amont du bassin et peu significante sur le reste des stations.

Les deux simulations致nent à des valeurs qui s'écartent sensiblement de la valeur observée au cours de l'année 1975-1976 ce qui est en quelque sorte, prévisible tenant compte de comportement du modèle vis à vis de deux pluies journalières de même importance mais d'intensité différente.

En procédant à une correction des lames ruisselées simulées par les rapports $\frac{P}{P_1}$ et $\frac{P}{P_2}$ nous obtenons les valeurs du tableau suivant :

Année	HR observée	Matmata		Medenine	
		HRC	HRC-HR observée	HRC	HRC-HR observée
1973-1974	37,7	36,2	-1,5	27,3	-10,4
1974-1975	0,5	5,2	+4,7	0,7	+0,2
1975-1976	21,3	39,0	1,77	37,9	+16,6
1976-1977	1,4	0,1	-1,3	3,9	+2,5
1977-1978	1,1	1,1	0	1,9	+0,8
1978-1979	43,7	50,2	+6,5	54,3	10,6
1979-1980	3,1	2,5	-1,6	4,1	0,0
1980-1981	17,8	3,3	-14,5	0,0	-17,6
1981-1982	0,0	0,2	0,2	1,0	1,0
Total	127,8	137,8	+10	131,1	3,5

.../...

Les caractéristiques empiriques de la série observée et des séries simulées se présentent comme suit :

série observée		série de Matmata		série de Medenine	
moyenne	Ecart type	moyenne	Ecart type	moyenne	Ecart type
14,18	17,00	15,3	20,27	14,57	20,18
Ecart aux valeurs observées		1,12	7,91	3,27	19,23
Coefficient de varia- tion		1,325		1,385	

Nous remarquons que si la simulation avec la station de Medenine affectent le moins la moyenne et l'écart type, la simulation avec Matmata conserve le mieux le coefficient de variation.

Les équations de régression pour les deux séries de couples lame, ruisseau observées. Simulées sont :

Pour la simulation avec Matmata :

$$y = 1,086 x \quad r_{xy} = 0,91$$

Pour la simulation avec Medenine

$$y = 1,023 x \quad r_{xy} = 0,86.$$

Nous désignons par y = Lame ruisseau simulée

x = Lame ruisseau observée.

La relation entre l'observée et la simulée avec Matmata peut être considérée comme bonne bien qu'elle aboutit à des valeurs en moyenne faiblement surestimées.

A l'échelle événement :

Le tableau-ci-dessous recapitule le nombre de crues simulées pendant la période de 1973-1982.

.../...

- 14 -
NOMBRE DE CRUFS
(1973-1982)

Année	Metmetta	Medenine	observée
1973-74	3	2	2
1974-75	4	2	2
1975-1976	7	8	7
1976-77	1	1	1
1977-78	2	3	5
1978-79	5	2	4
1979-80	1	3	5
1980-81	3	1	4
1981-82	1	1	0
" Total	27	23	30

TABLEAU : DES CRUFS (1973-1982)

Année	Metmetta	Medenine	observée
1973-74	20/11/73 4/12/73 12-13 et 13/12/73	11 et 12/12/73 12/03/74	12 et 21/11/73 12 et 13/12/73
1974-75	17 et 18/02/75 6/03/75	18/02/75 6/03/75	18-19 et 20/02/75
1975-76	3/10/75 22/12/75 8/01/76 14 et 14/01/76 23-25 et 27/02/76 10/03/76 26-27 et 28/03/76	27/10/75 21/12/75 24/12/75 13-14 et 15/01/76 25/02/76 10/03/76 21/03/76 26/03/76	28/10/75 22 et 23/12/75 9-10 et 11/01/76 14 et 15/01/76 28 et 29/02/76 26 et 27/03/76 26 et 27/06/76
			.../...

1976-77	8/09/76 21/12/76		8 et 9/10/76
1977-78		8/11/77 25/11/77 18/01/78 9 et 10/03/78 29/10/78	29 et 30/09/77 8 et 9/11/77 25/11/77 17/01/78 25 et 26/10/78 7/11/78
1978-79	16 et 17/11/78 25 et 26/02/79 3 et 6/03/79	24/02/79 4 et 5/03/79	26/02/79 4 et 5/03/79
1979-80		9/09/79 25/02/80 12/03/80	9 et 10/09/79 29/09/79 22-23 et 24/11/79 25 et 26/02/80 12 et 13/03/80
1980-1981	29/09/80 19/11/80 3/02/81	26/09/80	27/09/80 1 et 2/10/80 19 et 20/11/80 3 et 4/12/80
1981-82	21/03/82	26/02/82	

Les événements simulés coïncident comme le montre le tableau des crues 15 fois sur 30 avec les événements observés en utilisant la station de Metmata et 16 fois en utilisant Medenine; 11 événements observés ont été simulés à la fois par les deux simulations.

Dans le cas des deux simulations les événements exceptionnels simulés coïncident avec les plus fortes crues observées chaque année à part à l'exception de deux fois où la crue observée est de même importance bien qu'un peu plus faible au point de vue apport que la plus forte simulée de l'année.

Les contributions de ces crues aux apports annuels sont dans le même rapport que ceux des événements observés.

Année	crue du	Rapport observée	Rapport simulé
1973-74	20/11/1973	20,5 %	10,4 %
	12/12/73	79,5 %	83,7 %
1974-75	18-19 et 20/02/75	46,0 %	55,8 %
1975-76	22 et 23/12/75	18,5 %	1,5 %
	14 et 15/01/76	32,8 %	20,8 %
	26-27 et 28/02/76	6,4 %	0,5 %
	26-27 et 28/03/76	5,2 %	70,5 %
1976-77	8/09/76	100 %	100 %
1977-78	17/01/78	1,3 %	60 %
1978-79	25/10/1978	0,5 %	13,3 %
	25 et 26/02/79	0,2 %	2,2 %
	4 et 5/03/79	99,5 %	81,7 %
1979-80	26/02/80	36,6 %	100 %

Pour la station de Medenine les crues observées reconstituées par la simulation se présentent comme suit :

Année	crue du	Rapport observé	Rapport simulé
1973-74	12 et 13/12/73- --	79,5 %	94,8 %
1974-75	17 et 18/02/75	46 %	66,7 %
1975-76	26/10/75	27,6 %	10 %
	21/12/75	17,8 %	7,7 %
	13 et 14/01/76	32,8 %	71,8 %
	25/02/76	6,4 %	1,1 %
	26/03/76	5,2 %	2,9 %
1977-78	3/11/77	30,8 %	41,7 %
	25/11/77	14,6 %	53,0 %
	16/01/78	1,3 %	6,4 %
1978-79	24/02/79 4 et 5/03/79	0,2 % 99,6 %	3,9 % 96,1 %

.../...

Année	crue du	Rapport observée	Rapport simulé
1979-80	9/09/79	48,9 %	4,9 %
	25/02/80	36,6 %	29,3 %
	12/03/80	8,0 %	68,3
1980-81	26/09/80	très faible	100 %

En s'intéressant à l'ensemble des événements simulés (voir tableau) nous constatons que :

- 25 événements correspondent à des lames ruisseées supérieures à 0,1 mm dans le cas de la simulation avec la station de Matmata.
- 22 événements seulement dans le cas de la simulation avec la station de Medenine.

Les événements observés sont de 24.

Les caractéristiques empiriques de l'ensemble des lames ruisseées de ces événements dans les trois cas se présentent comme suit :

Série	Moyenne (mm)	Ecart type	Coefficient de variation	Valeur maximum
série observée	5,324	10,631	0,500	43,5
série simulée Matmata	5,285	10,494	0,503	41,0
série simulée Medenine	5,964	12,720	0,469	44,1

Nous remarquons donc pour le cas de la simulation avec la station de Matmata, nous obtenons les mêmes caractéristiques centrales que celles de la série observée bien que la simulation avec Medenine donne la valeur extrême la plus proche de l'observée.

.../...

Ce qui nous permet de conclure à priori que nous avons à faire à deux populations faisant partie de la même population mère.

3-2-2 Phase d'extension :

Nous allons donc exploiter cette situation pour reconstituer les années d'écoulement non observées. Les tableaux qui suivent récapitulent les résultats obtenus.

* Lame ruisselée annuelle :

Les lames ruisselée simulées pour la période 1903- 1982 sont données dans le tableau de la page suivante :

Les caractéristiques empiriques de l'échantillon se présentent comme suit :

- Nombre d'année : 76
- Lame ruisselée moyenne H_R = 13,2 mm
- Ecart type s = 34,2 mm
- Coefficient de variation C_v = 2,59
- Lame ruisselée maximum $H_{R_{\max}} = 245,9$ mm (1932-1933)
- Lame ruisselée minimum $H_{R_{\min}} = 0$

La série des lames ruisselées observées étendues à 70 valeurs par une relation hydropluviométrique se présentent avec les caractéristiques suivantes :

- Nombre d'années = 70
- Lame ruisselée moyenne H_R = 12,9 mm
- Ecart type s = 38,7 mm.

- - -

Coefficient de variation $C_v = 3,0$

- lame ruisselée maximum $H_{R_{\max}} = 268$ mm (1932-93))
- lame ruisselée minimum $H_{R_{\min}} = 0,0$.

Nous remarquons que par deux méthodes différentes nous obtenons des valeurs centrales comparables puisque l'écart sur la moyenne ne dépasse pas 2,3 % par rapport à la valeur la plus faible et l'écart sur l'écart type ne dépasse pas 12,8 %. D'autre part les valeurs extrêmes sont pratiquement les mêmes.

.../...

TABLEAU DES LAMES KUSSMULZERS
ARRANGÉES SIMPLÈS

Ancien	H_R (mm)	Antique	H_R (mm)	Ancien	H_R (mm)
1903-1904	4.5	1919-1930	0.4	1931-1950	0.2
1904-1905	0.5	1936-1937	3.0	1951-1970	16.0
1908-1909	0.1	1931-1932	12.0	1959-1960	0.9
1907-1908	0.6	1932-1933	24.0	1960-1961	4.9
1908-1909	4.6	1933-1934	0.0	1961-1962	44.0
1909-1910	17.5	1934-1935	28.4	1962-1963	2.3
1910-1911	1.4	1935-1936	0.0	1963-1964	2.6
1911-1912	0.0	1936-1937	0.5	1964-1965	2.2
1912-1913	0.0	1937-1938	2.1	1966-1967	0.5
1913-1914	1.6	1938-1939	3.4	1967-1968	4.2
1914-1915	41.8	1939-1940	3.1	1968-1969	1.2
1915-1916	6.2	1940-1941	19.0	1969-1970	64.0
1916-1917	0.6	1941-1942	2.0	1970-1971	23.0
1917-1918	5.7	1944-1945	4.7	1971-1972	2.0
1918-1919	20.3	1945-1946	1.6	1972-1973	2.9
1919-1920	1.8	1946-1947	5.2	1973-1974	26.2
1920-1921	18.1	1947-1948	3.1	1974-1975	5.2
1921-1922	0.0	1948-1949	2.0	1975-1976	28.0
1922-1923	156.4	1949-1950	2.0	1976-1977	0.1
1923-1924	0.0	1950-1951	3.8	1977-1978	1.1
1924-1925	8.4	1951-1952	0.4	1978-1979	20.2
1925-1926	0.0	1952-1953	2.3	1979-1980	2.8
1926-1927	1.3	1953-1954	0.6	1980-1981	3.3
1927-1928	12.9	1954-1955	0.0	1982-1983	0.2
1928-1929	7.7	1955-1956	3.9		
	0.0	1956-1957			

En traitant les deux échantillons, chacun à part, (lames ruisselées simulées par le modèle DREAU et les lames ruisselées étendues par la relation hydropluviométrique supérieures à 0,1mm) par le biais d'un programme informatique utilisant neuf lois statiques nous avons retenu les mêmes ajustements pour les deux échantillons : le test d'adéquation est minimum pour la loi Log-Gamma pour les deux échantillons. La loi de Galton avec une valeur du test acceptable mais un peu plus forte vient en deuxième lieu; mais en s'intéressant aux caractéristiques empiriques des deux échantillons et aux quantiles rares nous remarquons que c'est la loi de Galton qui est plus réaliste (la loi Log Gamma surestime les caractéristiques empiriques et les quantiles rares au point de les considérer non réalisables).

Nous allons donc arrêter notre choix sur la loi de Galton qui se présente comme suit :

	Echantillon DREAU	Echantillon corrélation Hydro pluviométrique
Paramètres d'échelle	3,830	2,735
Paramètres de position	0,162	0,060
Paramètres de forme	1,701	1,836
Forme analytique	$u = \frac{1}{1,701} \ln \frac{y}{3,830}$ $y = \text{Variable réduite de gauss}$	$y = \frac{\ln \frac{y}{M}}{1,836}$
moyenne (mm)	16,4	19,37
médiane (mm)	4,0	2,6
mode (mm)	0,375	0,148
Ecart type	67,1	94,3
Coefficient de variation	4,006	3,486
Coefficient d'asymétrie	82,667	183,361
Nombre d'éléments supérieur à 0,1 mm	64 sur 70	60 sur 70
Fréquence de dépassement	$F = -\frac{1}{0,842} \ln \left(1 - \frac{1}{T}\right)$	$F = -\frac{1}{0,857} \ln \left(1 - \frac{1}{T}\right)$

.../...

Les quantités suivantes sont définies :

période de retour T en années	Echantillon DREAU H _T (mm)	Echantillon corrélation H _R (mm)	Ecart relatif
500	971,9	522,5	10,7 %
100	179,0	184,8	3,2 %
50	93,8	108,1	15,2 %
20	53,5	48,6	9,2 %
10	27,1	26,9	0,7 %
5	11,2	9,0	20 %
2	0,9	0,6	33,3 %

Nous remarquons donc que sensiblement avec les deux outils nous aboutissons aux mêmes résultats surtout pour des récurrences supérieures à 5 ans.

Les forts écarts au niveau des quantiles les plus courantes est en quelque sorte attendus sachant que la méthode de traitement statistique des échantillons des valeurs sélectionnées est peu précise quand aux valeurs les plus fréquentes.

* Lame ruisselée des plus fortes crues annuelles :

- Nombre de crue : Sachant la faible sensibilité du modèle DREAU au faible lame ruisselée, le nombre de crue auquel nous nous intéressons, correspond aux crues dont la lame ruisselée dépasse 0,1 mm.

Les caractéristiques empiriques de l'échantillon de 76 années de crue ci-dessus définies se définissent comme suit :

- Nombre moyen $n = 2,32$ crues/année

Nous rappelons que sur la période d'observation le nombre moyen de ces crues est de 2,58 crues/année.

- Ecart typ $s = 1,9$ crue

- Coefficient de variation $C_v = 0,82$

- Nombre de crue maximum $N_x = 11$ crues

- 30 années sur 75 le nombre de crue est entre 3 et 11 crues

- 8 années sur 76 le nombre de crue est entre 5 et 11

- 64 années sur 76 il y a au moins une crue.

.../...

TABLEAU DES PLUS HAUTES LAMES
RUSSIENNES ANNUELLES SINONCES

- 22 -

Année	H_R (mm)	Année	H_R (mm)	Année	H_R (mm)
1903-1904	1.8	1929-1930	0.6	1957-1958	0.0
1904-1905	0.2	1930-1931	1.9	1958-1959	5.4
1906-1907	0.2	1931-1932	16.8	1959-1960	14.9
1907-1908	0.3	1932-1933	151.2	1960-1961	0.9
1908-1909	4.2	1933-1934	0.0	1961-1962	3.9
1909-1910	14.5	1934-1935	36.5	1962-1963	39.9
1910-1911	0.8	1935-1936	0.0	1963-1964	1.6
1911-1912	0.0	1936-1937	0.5	1964-1965	2.3
1912-1913	0.0	1937-1938	2.1	1965-1966	2.2
1913-1914	1.1	1938-1939	2.7	1966-1967	0.3
1914-1915	16.4	1939-1940	1.8	1967-1968	4.3
1915-1916	5.4	1940-1941	16.7	1968-1969	1.2
1916-1917	0.6	1941-1942	0.9	1969-1970	52.0
1917-1918	2.9	1944-1945	3.4	1970-1971	2.0
1918-1919	12.8	1945-1946	3.8	1971-1972	35.0
1919-1920	1.1	1946-1947	1.6	1972-1973	0.0
1920-1921	8.5	1947-1948	5.3	1973-1974	30.7
1921-1922	0.9	1948-1949	2.2	1974-1975	2.9
1922-1923	143.0	1949-1950	2.0	1975-1976	26.8
1923-1924	0.0	1950-1951	2.0	1976-1977	0.1
1924-1925	7.3	1951-1952	1.5	1977-1978	0.4
1925-1926	0.0	1952-1953	0.4	1978-1979	41.0
1926-1927	1.5	1953-1954	2.2	1979-1980	2.1
1927-1928	1.8	1954-1955	0.6	1980-1981	2.8
1928-1929	3.0	1955-1956	0.0	1981-1982	0.2
1956-1957	1.8				

- Lame ruisseauée de crue maximum annuelle : Nous allons nous intéresser à l'échelle des crues à la plus forte lame ruisseauée de l'année tout en sélectionnant les lames supérieures à 0,1 mm.

Nous obtenons un échantillon de 64 valeurs qui présente les caractéristiques suivantes :

- moyenne $H_R = 11,3$ mm
- Médiane observée $H_R = 2,4$ mm
- Mode probable $H_T = 5,8$ mm
- Ecart type $s = 26,8$ mm
- Coefficient de variation $C_V = 2,361$
- Coefficient d'asymétrie = 4,332
- Coefficient d'aplatissement = 20,0

Les caractéristiques empiriques de l'échantillon correspondant aux mêmes crues sélectionnées (56 sur 70) en utilisant la corrélation hydro pluviométrique se résument comme suit :

- moyenne = 13,2 mm
- médiane observée = 2,3 mm
- mode probable = 6,1 mm
- Ecart type $s = 37,5$ mm
- Coefficient de variation $C_V = 2,84$
- Coefficient d'asymétrie = 4,915
- Coefficient d'aplatissement = 25,8

Le traitement statistiques des deux échantillons par le biais du programme utilisant 9 lois-statistique a permis le choix d'une loi de Galton pour l'analyse de la distribution statistique des deux échantillons ; Elle se présentent comme suit :

.../...

	Echantillon DREAU	Echantillon corrélation hydro-piuviométrique
Paramètre d'échelle	2,814	2,354
Paramètre de position	0,167	0,184
Paramètre de forme	1,617	1,642
Forme analytique	$U = \frac{\ln \frac{H_0 - 0,167}{2,814}}{1,617}$	$U = \frac{\ln \frac{H_0 - 0,184}{2,354}}{1,642}$
moyenne (mm)	11,3	13,0
médiane (mm)	2,4	2,5
mode (mm)	5,8	0,263
Ecart type (mm)	26,8	68,7
Coefficient de variation	2,361	5,283
Nombre d'éléments supérieur à 0,1 m	63 sur 76	56 sur 70
Fréquence au dépassement	$F = -\frac{1}{0,842} \ln \left(1 - \frac{1}{T}\right)$ T = recurrence	$F = -\frac{1}{0,8} \ln \left(1 - \frac{1}{T}\right)$

En utilisant dans les deux cas, la forme analytique de la loi de Galton nous déterminons les quantiles remarquables suivantes :

Période de retour T en années	Echantillon DREAU H_R (mm)	Echantillon corrélation H_R (mm)	Ecart relatif
500	272	409	50 %
100	108	146	35,1 %
50	69,3	85,6	23,5 %
20	34,7	38,9	6,3 %
10	18,2	19,7	2,7 %
5	8,0	7,2	10 %
2	0,91	0,45	50 %

.../...

Nous remarquons que pour les fréquences où la taille des échantillons assure une certaine confiance les écarts ne sont pas importants et ne dépassent guère 35%.

En règle générale l'échantillon obtenu par corrélation hydro-pluviométrique amène à des quantiles rares plus fortes que celles définies par l'échantillon du modèle. Pour les quantiles correspondantes à des récurrences comprises entre 5 et 20 ans l'analyse statistique donne les mêmes valeurs.

IV- CONCLUSION :

La simulation des écoulements d'oued Oum Ezessar à Koutine par le modèle DREAU a donné des résultats fort acceptables sur la période observée. Ce qui nous encourage à pousser notre chemin pour étendre la simulation aux années non observées. La courte durée d'observation des stations pluviométriques du stations nous a incitée à chercher la solution avec l'usage des stations de longue durée les plus proches du B.V.

L'utilisation d'une des deux stations pluviométriques a permis de conclure :

- Aux bons résultats statistiquement parlant de simulations (période de calage) à l'échelle événements et annuelles.
- L'extension par simulation des années d'écoulement non observées a donné lieu à des résultats statistiquement comparables à ceux obtenus par corrélation hydropluviométrique tant à l'échelle des plus fortes crues qu'annuelles.

BIBLIOGRAPHIE

- A. GHORBEL : Le modèle hydrologique DREAU (Juin 1985)
- A. GHORBEL : Simulation des débits de l'oued Siliana (Juin 85)
- A. GHORBEL : Simulation des débits de l'oued
- S. MASHALLAH : Sejnane (Octobre 1985)
- M. FERDI : Etude hydrologique d'oued Oum Ezzaour à Koutine
(Décembre 1985).

ANNEXES

- Sortie 1er calage
- Sortie 2ème calage
- Sortie 3ème calage

1er CALAGE

MOYENNE SPÉCIALE

1 2 3 4 5 6 7 8 9 10 11 12 13 14 15 16 17 18 19 20 21 22 23 24 25 26 27 28 29 30 31 32 33 34 35 36 37 38 39 40 41 42 43 44 45 46 47 48 49 50 51 52 53 54 55 56 57 58 59 60 61 62 63 64 65 66 67 68 69 70 71 72 73 74 75 76 77 78 79 80 81 82 83 84 85 86 87 88 89 90 91 92 93 94 95 96 97 98 99 100 101 102 103 104 105 106 107 108 109 110 111 112 113 114 115 116 117 118 119 120 121 122 123 124 125 126 127 128 129 130 131 132 133 134 135 136 137 138 139 140 141 142 143 144 145 146 147 148 149 150 151 152 153 154 155 156 157 158 159 160 161 162 163 164 165 166 167 168 169 170 171 172 173 174 175 176 177 178 179 180 181 182 183 184 185 186 187 188 189 190 191 192 193 194 195 196 197 198 199 200 201 202 203 204 205 206 207 208 209 210 211 212 213 214 215 216 217 218 219 220 221 222 223 224 225 226 227 228 229 230 231 232 233 234 235 236 237 238 239 240 241 242 243 244 245 246 247 248 249 249 250 251 252 253 254 255 256 257 258 259 259 260 261 262 263 264 265 266 267 268 269 269 270 271 272 273 274 275 276 277 278 279 279 280 281 282 283 284 285 286 287 288 289 289 290 291 292 293 294 295 296 297 298 299 299 300 300 301 302 303 304 305 306 307 308 309 309 310 311 312 313 314 315 316 317 318 319 319 320 321 322 323 324 325 326 327 328 329 329 330 331 332 333 334 335 336 337 338 339 339 340 341 342 343 344 345 346 347 348 349 349 350 351 352 353 354 355 356 357 358 359 359 360 361 362 363 364 365 366 367 368 369 369 370 371 372 373 374 375 376 377 378 379 379 380 381 382 383 384 385 386 387 388 389 389 390 391 392 393 394 395 396 397 398 399 399 400 401 402 403 404 405 406 407 408 409 409 410 411 412 413 414 415 416 417 418 419 419 420 421 422 423 424 425 426 427 428 429 429 430 431 432 433 434 435 436 437 438 439 439 440 441 442 443 444 445 446 447 448 449 449 450 451 452 453 454 455 456 457 458 459 459 460 461 462 463 464 465 466 467 468 469 469 470 471 472 473 474 475 476 477 478 479 479 480 481 482 483 484 485 486 487 488 489 489 490 491 492 493 494 495 496 497 498 498 499 499 500 500 501 502 503 504 505 506 507 508 509 509 510 511 512 513 514 515 516 517 518 519 519 520 521 522 523 524 525 526 527 528 529 529 530 531 532 533 534 535 536 537 538 539 539 540 541 542 543 544 545 546 547 548 549 549 550 551 552 553 554 555 556 557 558 559 559 560 561 562 563 564 565 566 567 568 569 569 570 571 572 573 574 575 576 577 578 579 579 580 581 582 583 584 585 586 587 588 589 589 590 591 592 593 594 595 596 597 598 598 599 599 600 600 601 602 603 604 605 606 607 608 609 609 610 611 612 613 614 615 616 617 618 619 619 620 621 622 623 624 625 626 627 628 629 629 630 631 632 633 634 635 636 637 638 639 639 640 641 642 643 644 645 646 647 648 649 649 650 651 652 653 654 655 656 657 658 659 659 660 661 662 663 664 665 666 667 668 669 669 670 671 672 673 674 675 676 677 678 679 679 680 681 682 683 684 685 686 687 688 689 689 690 691 692 693 694 695 696 697 698 698 699 699 700 700 701 702 703 704 705 706 707 708 709 709 710 711 712 713 714 715 716 717 718 719 719 720 721 722 723 724 725 726 727 728 729 729 730 731 732 733 734 735 736 737 738 739 739 740 741 742 743 744 745 746 747 748 749 749 750 751 752 753 754 755 756 757 758 759 759 760 761 762 763 764 765 766 767 768 769 769 770 771 772 773 774 775 776 777 778 779 779 780 781 782 783 784 785 786 787 788 789 789 790 791 792 793 794 795 796 797 798 798 799 799 800 800 801 802 803 804 805 806 807 808 809 809 810 811 812 813 814 815 816 817 818 819 819 820 821 822 823 824 825 826 827 828 829 829 830 831 832 833 834 835 836 837 838 839 839 840 841 842 843 844 845 846 847 848 849 849 850 851 852 853 854 855 856 857 858 859 859 860 861 862 863 864 865 866 867 868 869 869 870 871 872 873 874 875 876 877 878 879 879 880 881 882 883 884 885 886 887 888 889 889 890 891 892 893 894 895 896 897 898 898 899 899 900 900 901 902 903 904 905 906 907 908 909 909 910 911 912 913 914 915 916 917 918 919 919 920 921 922 923 924 925 926 927 928 929 929 930 931 932 933 934 935 936 937 938 939 939 940 941 942 943 944 945 946 947 948 949 949 950 951 952 953 954 955 956 957 958 959 959 960 961 962 963 964 965 966 967 968 969 969 970 971 972 973 974 975 976 977 978 979 979 980 981 982 983 984 985 986 987 988 989 989 990 991 992 993 994 995 996 997 998 998 999 999 1000 1000

SURFACE DU MASSIN

RESERVEE - CALCULEE =

278.000 278.710 1.710

NOMBRE DE STATION AFFECTEE A CHAQUE CARREAU

(CARRÉS NUMÉRÉS)

1215	2 1311	6 1312	6 1313	6 1314	6 1315	6 1316	2 1412	6 1413	6 1414	6
1615	6 1416	6 1512	6 1513	6 1514	6 1515	6 1516	6 1517	5 1518	5 1519	5
1920	5 1612	6 1613	6 1614	6 1615	6 1616	6 1617	5 1618	5 1619	5 1620	1
1621	1 1622	1 1623	1 1624	1 1711	6 1712	6 1713	6 1714	6 1715	6 1716	0
1717	6 1718	6 1719	1 1720	1 1721	1 1722	1 1723	1 1724	1 1725	3 1811	6
1312	6 1813	6 1814	6 1815	6 1816	6 1817	6 1818	5 1819	1 1920	1 1821	1
1322	1 1823	1 1824	1 1825	3 1911	4 1912	6 1913	6 1914	6 1915	6 1916	0
1317	6 1918	6 1919	6 1920	1 1921	1 1922	1 1923	1 1924	3 2023	3 2014	0
2315	6 2016	6 2017	6 2014	6 2019	6 2022	1 2023	3 2024	3 2025	3	

POSTES METÉO DU LEVANT N° 100 - 3

HOST STATUS	SEASON	I	J	FJES
A - ACTIVE	Y-67-1	22	16	3.23±2
B - INACTIVE	Y-12-2	14	11	3.01±5
C - DORMANT	Y-7-0	23	22	3.35±9
D - HIBERNATING	Y-0-6	13	16	3.34±2
E - DEAD	Y-0-2	11	13	3.06±1
F - UNKNOWN	Y-7-6	17	21	3.26±1

3-1934-A1121 BY 1- 3-1972 AL 375 J-1030

POURCENTAGE DE SURFACE IMPERMEABLE (C.G.)
 HAUTEUR DU RESERVAIRE 6 JL (M.M.) = 122,0
 HAUTEUR DU NIVEAU D INFILTRATION 98,0
 HAUTEUR DE VÉGÉTATION IMPERMÉABILE 114,0

POUR JRE LANE SUPERIEURE A 13.341
COEFFICIENT D INFILTRATION = 0.1533 INFILTRATION
COEFFICIENT DE VIDEAGE INTERMEDIAIRE = 3.6003 -

- - - - - HAPPE
RAUTIER DE VIBRANCE HAUTE = 3.0 COEFFICIENT DE VIBRANCE HAUTE=3.

СТАРТНАЯ ВИБРАЦИЯ
СТР = 4.00
МАКСИМУМ ВЕРХНЕГО ПРЕДЕЛА ТАКТИКИ = 56.0

PERCENTAGE EVAPORATION DE LA MAPPE = 13.0

- D A L E W M S I N I T I A L S
RESERVEE SOL = O. J.M.
RESERVEE DAPPE = U. P.
D E S I G N R O T I N I T I A L S E M A D F S = O.

SIGHTING OF A BIRD

NO	NAME	SEX	AGE	SPECIES	DATE	TIME	LOCALITY	ELEVATION	MATERIAL	SIGHTS		SIGHTS		SIGHTS		SIGHTS		
										NO.	NO.	NO.	NO.	NO.	NO.	NO.	NO.	
8211	819									1	2	3	4	5	6	7	8	
C	2,																	
C	2,																	
C	2,																	
C	2,																	
C	2,																	
8211	820									1	2	3	4	5	6	7	8	
C	2,																	
C	2,																	
C	2,																	
C	2,																	
C	2,																	
8211	821									1	2	3	4	5	6	7	8	
C	2,																	
C	2,																	
C	2,																	
C	2,																	
C	2,																	
8211	822									1	2	3	4	5	6	7	8	
C	2,																	
C	2,																	
C	2,																	
C	2,																	
C	2,																	
8211	823									1	2	3	4	5	6	7	8	
C	2,																	
C	2,																	
C	2,																	
C	2,																	
C	2,																	
8211	824									1	2	3	4	5	6	7	8	
C	2,																	
C	2,																	
C	2,																	
C	2,																	
C	2,																	
8211	825									1	2	3	4	5	6	7	8	
C	2,																	
C	2,																	
C	2,																	
C	2,																	
C	2,																	
8211	826									1	2	3	4	5	6	7	8	
C	2,																	
C	2,																	
C	2,																	
C	2,																	
C	2,																	
8211	827									1	2	3	4	5	6	7	8	
C	2,																	
C	2,																	
C	2,																	
C	2,																	
C	2,																	
8211	828									1	2	3	4	5	6	7	8	
C	2,																	
C	2,																	
C	2,																	
C	2,																	
C	2,																	
8211	829									1	2	3	4	5	6	7	8	
C	2,																	
C	2,																	
C	2,																	
C	2,																	
C	2,																	
8211	830									1	2	3	4	5	6	7	8	
C	2,																	
C	2,																	
C	2,																	
C	2,																	
C	2,																	
8211	831									1	2	3	4	5	6	7	8	
C	2,																	
C	2,																	
C	2,																	
C	2,																	
C	2,																	
8211	832									1	2	3	4	5	6	7	8	
C	2,																	
C	2,																	
C	2,																	
C	2,																	
C	2,																	
8211	833									1	2	3	4	5	6	7	8	
C	2,																	
C	2,																	
C	2,																	
C	2,																	
C	2,																	
8211	834									1	2	3	4	5	6	7	8	
C	2,																	
C	2,																	
C	2,																	
C	2,																	
C	2,																	
8211	835									1	2	3	4	5	6	7	8	
C	2,																	
C	2,																	
C	2,																	
C	2,																	
C	2,																	
8211	836									1	2	3	4	5	6	7		

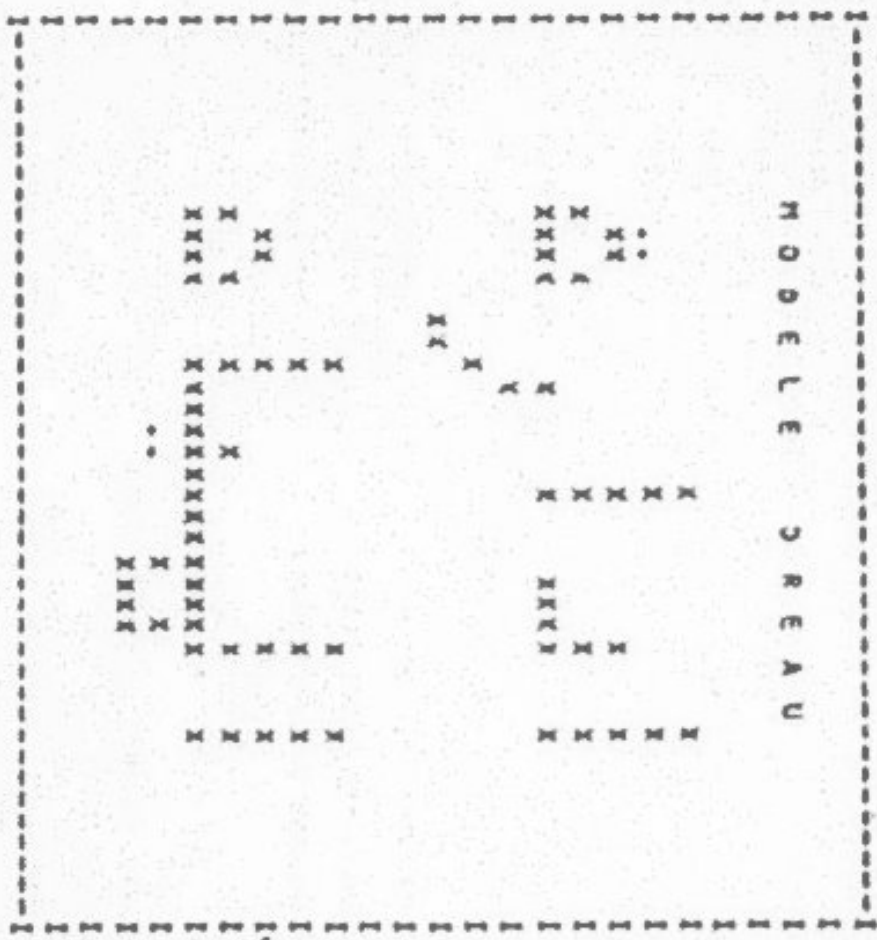
卷之三十一

Period	Period	Period	Period	Period	Period	Period	Period
1990-91	1991-92	1992-93	1993-94	1994-95	1995-96	1996-97	1997-98
1998-99	1999-2000	2000-2001	2001-2002	2002-2003	2003-2004	2004-2005	2005-2006

12 May 1945 02 L 4448 11 P-60

2nd CALAC

MODELE DREAU



卷之三

24 DECEMBER 2000

1948-1950
1950-1952
1952-1954
1954-1956
1956-1958
1958-1960
1960-1962
1962-1964
1964-1966
1966-1968
1968-1970
1970-1972
1972-1974
1974-1976
1976-1978
1978-1980
1980-1982
1982-1984
1984-1986
1986-1988
1988-1990
1990-1992
1992-1994
1994-1996
1996-1998
1998-2000
2000-2002
2002-2004
2004-2006
2006-2008
2008-2010
2010-2012
2012-2014
2014-2016
2016-2018
2018-2020
2020-2022
2022-2024
2024-2026
2026-2028
2028-2030
2030-2032
2032-2034
2034-2036
2036-2038
2038-2040
2040-2042
2042-2044
2044-2046
2046-2048
2048-2050
2050-2052
2052-2054
2054-2056
2056-2058
2058-2060
2060-2062
2062-2064
2064-2066
2066-2068
2068-2070
2070-2072
2072-2074
2074-2076
2076-2078
2078-2080
2080-2082
2082-2084
2084-2086
2086-2088
2088-2090
2090-2092
2092-2094
2094-2096
2096-2098
2098-20100

卷之三十一

PROBLEME DE GESTION INTELLIGENTE (SIG) DANS LES SYSTEMES D'INFORMATION. CECI EST UN PROBLEME DE GESTION DE L'INFORMATION QUI REQUIERAIT UNE APPROCHE INTEGRANTE DES DIFFERENTES FORMES D'INFORMATION ET DES DIFFERENTES FAÇONS DE LA GESTION. CECI EST UN PROBLEME DE GESTION INTELLIGENTE QUI REQUIERAIT UNE APPROCHE INTEGRANTE DES DIFFERENTES FORMES D'INFORMATION ET DES DIFFERENTES FAÇONS DE LA GESTION.

CORRESPONDENCE DE VILLENEUVE, 1616-1617

1911-12-16-22
1911-12-16-22
1911-12-16-22

1196 Environ Biol Fish (2007) 80:1–10

31764747100 30 L 200604 107pm F4

07269 0 00000
00000 0000 00000 00000 00000 00000 00000 00000 00000

14760.165304 84 1 2004-04-04 09:30:00

INVENTORIES OF L. PHASES 7178-77

INVENTORIES OF L. PHASES 7178-77																			
PET18	1	2	3	4	5	6	7	8	9	10	11	12	13	14	15	16	17	18	19
PET18	20	21	22	23	24	25	26	27	28	29	30	31	32	33	34	35	36	37	38
PET18	39	40	41	42	43	44	45	46	47	48	49	50	51	52	53	54	55	56	57
PET18	58	59	60	61	62	63	64	65	66	67	68	69	70	71	72	73	74	75	76
PET18	77	78	79	80	81	82	83	84	85	86	87	88	89	90	91	92	93	94	95
PET18	96	97	98	99	100	101	102	103	104	105	106	107	108	109	110	111	112	113	114

卷之三

Sept. 1973 1974 1975 1976 1977 1978 1979 1980 1981 1982 1983 1984 1985 1986

卷之九

NAME	EMPLOYEE NUMBER	DEPARTMENT	BASIC SAL.	STANDARD H.R.	ADDITIONAL PAY	PAYOUT AMOUNT
John Doe	12345	IT	\$120.00	\$0.00	\$0.00	\$120.00

Volume 147 Issue 24 | ISSN 0044-2219

1600-1620

Sept. 1979 00:00 01:00 02:00 03:00 04:00 05:00 06:00 07:00 08:00 09:00 010:00 011:00 012:00

卷之四

[View all posts](#) [View all posts](#) [View all posts](#) [View all posts](#)

1.0 1.0 1.0 1.0 1.0 1.0 1.0

Emissions Inventory Data											
Source Category			Pollutant Type			Emissions Data					
Source ID	Source Name	Source Type	Pollutant	Unit	Value	Year	Month	Day	Hour	Min	Sec
E1010-00-001	Power Plant A	Industrial	CO2	t/h	1000	2023	01	01	00	00	00
E1010-00-002	Power Plant B	Industrial	CO2	t/h	1000	2023	01	01	00	00	00
E1010-00-003	Power Plant C	Industrial	CO2	t/h	1000	2023	01	01	00	00	00
E1010-00-004	Power Plant D	Industrial	CO2	t/h	1000	2023	01	01	00	00	00
E1010-00-005	Power Plant E	Industrial	CO2	t/h	1000	2023	01	01	00	00	00
E1010-00-006	Power Plant F	Industrial	CO2	t/h	1000	2023	01	01	00	00	00
E1010-00-007	Power Plant G	Industrial	CO2	t/h	1000	2023	01	01	00	00	00
E1010-00-008	Power Plant H	Industrial	CO2	t/h	1000	2023	01	01	00	00	00
E1010-00-009	Power Plant I	Industrial	CO2	t/h	1000	2023	01	01	00	00	00
E1010-00-010	Power Plant J	Industrial	CO2	t/h	1000	2023	01	01	00	00	00
E1010-00-011	Power Plant K	Industrial	CO2	t/h	1000	2023	01	01	00	00	00
E1010-00-012	Power Plant L	Industrial	CO2	t/h	1000	2023	01	01	00	00	00
E1010-00-013	Power Plant M	Industrial	CO2	t/h	1000	2023	01	01	00	00	00
E1010-00-014	Power Plant N	Industrial	CO2	t/h	1000	2023	01	01	00	00	00
E1010-00-015	Power Plant O	Industrial	CO2	t/h	1000	2023	01	01	00	00	00
E1010-00-016	Power Plant P	Industrial	CO2	t/h	1000	2023	01	01	00	00	00
E1010-00-017	Power Plant Q	Industrial	CO2	t/h	1000	2023	01	01	00	00	00
E1010-00-018	Power Plant R	Industrial	CO2	t/h	1000	2023	01	01	00	00	00
E1010-00-019	Power Plant S	Industrial	CO2	t/h	1000	2023	01	01	00	00	00
E1010-00-020	Power Plant T	Industrial	CO2	t/h	1000	2023	01	01	00	00	00
E1010-00-021	Power Plant U	Industrial	CO2	t/h	1000	2023	01	01	00	00	00
E1010-00-022	Power Plant V	Industrial	CO2	t/h	1000	2023	01	01	00	00	00
E1010-00-023	Power Plant W	Industrial	CO2	t/h	1000	2023	01	01	00	00	00
E1010-00-024	Power Plant X	Industrial	CO2	t/h	1000	2023	01	01	00	00	00
E1010-00-025	Power Plant Y	Industrial	CO2	t/h	1000	2023	01	01	00	00	00
E1010-00-026	Power Plant Z	Industrial	CO2	t/h	1000	2023	01	01	00	00	00
Summary Statistics											
Total	2023	01	01	00	1000	2023	01	01	00	00	00
Final Report											
Report Date	2023-01-01	Report Type	Final	Report ID	1234567890	Report Status	Completed	Report Version	1.0	Report Author	John Doe
Report Date	2023-01-01	Report Type	Final	Report ID	1234567890	Report Status	Completed	Report Version	1.0	Report Author	John Doe

3ème CALAGE



DOSSIER DE MISE EN PLACE

DOSSIER D'ENTRETIEN

270,000 100,000 0

DOSSIER DE MISE EN PLACE ET ENTRETIEN
1979 - 1980 - 1981 - 1982 - 1983 - 1984 -

DOSSIER DE MISE EN PLACE

DOSSIER DE MISE EN PLACE
10 10 10 10
10 10 10 10
10 10 10 10
DOSSIER DE MISE EN PLACE
10 10 10 10

DOSSIER DE MISE EN PLACE 1979 - 1980

DOSSIER DE MISE EN PLACE	DOSSIER DE MISE EN PLACE	DOSSIER DE MISE EN PLACE
10 10 10 10	10 10 10 10	10 10 10 10

DOSSIER DE MISE EN PLACE 1981

DOSSIER DE MISE EN PLACE 1981
DOSSIER DE MISE EN PLACE 1981
DOSSIER DE MISE EN PLACE 1981
DOSSIER DE MISE EN PLACE 1981

DOSSIER DE MISE EN PLACE 1981

DOSSIER DE MISE EN PLACE 1981 DOSSIER DE MISE EN PLACE 1981
DOSSIER DE MISE EN PLACE 1981 DOSSIER DE MISE EN PLACE 1981

DOSSIER DE MISE EN PLACE

DOSSIER DE MISE EN PLACE 1981

DOSSIER DE MISE EN PLACE 1981

卷之三十一

Lane Availability
1 2 3 4 5 6 7 8 9 10 11 12 13 14

8120 8445
8120 8445 8120 8445 8120 8445 8120 8445 8120 8445

REGULATORY TESTS - TESTS

TEST NO 819

TEST NO 917

TEST NO 919

TEST NO 921

TEST NO 923

TEST NO 925

TEST NO 927

TEST NO 929

TEST NO 931

TEST NO 933

TEST NO 935

TEST NO 937

TEST NO 939

TEST NO 941

TEST NO 943

TEST NO 945

TEST NO 947

TEST NO 949

TEST NO 951

TEST NO 953

TEST NO 955

TEST NO 957

TEST NO 959

TEST NO 961

TEST NO 963

TEST NO 965

TEST NO 967

TEST NO 969

TEST NO 971

TEST NO 973

TEST NO 975

TEST NO 977

TEST NO 979

TEST NO 981

TEST NO 983

TEST NO 985

TEST NO 987

TEST NO 989

TEST NO 991

TEST NO 993

TEST NO 995

TEST NO 997

TEST NO 999

TEST NO 1001

TEST NO 1003

TEST NO 1005

TEST NO 1007

TEST NO 1009

TEST NO 1011

TEST NO 1013

TEST NO 1015

TEST NO 1017

TEST NO 1019

TEST NO 1021

TEST NO 1023

TEST NO 1025

TEST NO 1027

TEST NO 1029

TEST NO 1031

TEST NO 1033

TEST NO 1035

TEST NO 1037

TEST NO 1039

TEST NO 1041

TEST NO 1043

TEST NO 1045

TEST NO 1047

TEST NO 1049

TEST NO 1051

TEST NO 1053

TEST NO 1055

TEST NO 1057

TEST NO 1059

TEST NO 1061

TEST NO 1063

TEST NO 1065

TEST NO 1067

TEST NO 1069

TEST NO 1071

TEST NO 1073

TEST NO 1075

TEST NO 1077

TEST NO 1079

TEST NO 1081

TEST NO 1083

TEST NO 1085

TEST NO 1087

TEST NO 1089

TEST NO 1091

TEST NO 1093

TEST NO 1095

TEST NO 1097

TEST NO 1099

TEST NO 1101

TEST NO 1103

TEST NO 1105

TEST NO 1107

TEST NO 1109

TEST NO 1111

TEST NO 1113

TEST NO 1115

TEST NO 1117

TEST NO 1119

TEST NO 1121

TEST NO 1123

TEST NO 1125

TEST NO 1127

TEST NO 1129

TEST NO 1131

TEST NO 1133

TEST NO 1135

TEST NO 1137

TEST NO 1139

TEST NO 1141

TEST NO 1143

TEST NO 1145

TEST NO 1147

TEST NO 1149

TEST NO 1151

TEST NO 1153

TEST NO 1155

TEST NO 1157

TEST NO 1159

TEST NO 1161

TEST NO 1163

TEST NO 1165

TEST NO 1167

TEST NO 1169

TEST NO 1171

TEST NO 1173

TEST NO 1175

TEST NO 1177

TEST NO 1181

TEST NO 1183

TEST NO 1185

TEST NO 1187

TEST NO 1189

TEST NO 1191

TEST NO 1193

TEST NO 1195

TEST NO 1197

TEST NO 1199

TEST NO 1201

TEST NO 1203

TEST NO 1205

TEST NO 1207

TEST NO 1209

TEST NO 1211

TEST NO 1213

TEST NO 1215

TEST NO 1217

TEST NO 1219

TEST NO 1221

TEST NO 1223

TEST NO 1225

TEST NO 1227

TEST NO 1229

TEST NO 1231

TEST NO 1233

TEST NO 1235

TEST NO 1237

TEST NO 1239

TEST NO 1241

TEST NO 1243

TEST NO 1245

TEST NO 1247

TEST NO 1249

TEST NO 1251

TEST NO 1253

TEST NO 1255

TEST NO 1257

TEST NO 1259

TEST NO 1261

TEST NO 1263

TEST NO 1265

TEST NO 1267

TEST NO 1269

TEST NO 1271

TEST NO 1273

TEST NO 1275

TEST NO 1277

TEST NO 1279

TEST NO 1281

TEST NO 1283

TEST NO 1285

TEST NO 1287

TEST NO 1289

TEST NO 1291

TEST NO 1293

TEST NO 1295

TEST NO 1297

TEST NO 1299

TEST NO 1301

TEST NO 1303

TEST NO 1305

TEST NO 1307

TEST NO 1309

TEST NO 1311

TEST NO 1313

TEST NO 1315

TEST NO 1317

TEST NO 1319

TEST NO 1321

TEST NO 1323

TEST NO 1325

TEST NO 1327

TEST NO 1329

TEST NO 1331

TEST NO 1333

TEST NO 1335

TEST NO 1337

TEST NO 1339

TEST NO 1341

TEST NO 1343

TEST NO 1345

TEST NO 1347

TEST NO 1349

TEST NO 1351

TEST NO 1353

TEST NO 1355

TEST NO 1357

TEST NO 1359

TEST NO 1361

TEST NO 1363

TEST NO 1365

TEST NO 1367

TEST NO 1369

TEST NO 1371

TEST NO 1373

TEST NO 1375

TEST NO 1377

TEST NO 1379

TEST NO 1381

TEST NO 1383

TEST NO 1385

TEST NO 1387

TEST NO 1389

TEST NO 1391

TEST NO 1393

TEST NO 1395

TEST NO 1397

TEST NO 1399

TEST NO 1401

TEST NO 1403

TEST NO 1405

TEST NO 1407

TEST NO 1409

TEST NO 1411

TEST NO 1413

TEST NO 1415

TEST NO 1417

TEST NO 1419

TEST NO 1421

TEST NO 1423

TEST NO 1425

TEST NO 1427

TEST NO 1429

TEST NO 1431

TEST NO 1433

TEST NO 1435

TEST NO 1437

TEST NO 1439

TEST NO 1441

TEST NO 1443

TEST NO 1445

TEST NO 1447

— 1 —

SUITE EN

F 2



MICROFICHE N°

045.47

République Tunisienne

MINISTÈRE DE L'AGRICULTURE

CENTRE NATIONAL DE
DOCUMENTATION AGRICOLE
TUNIS

الجمهورية التونسية
وزارة الفلاحة

المركز القومي
للسويق الفلاحي
تونس

F

Digitized by srujanika@gmail.com

PAP. 222. 223. 224. 225. 226. 227. 228. 229. 230. 231. 232. 233.

PAPERS
PAPERS PAPERS PAPERS PAPERS PAPERS

卷之三

卷之三

卷之三

卷之三

卷之三

1949 1950 1951 1952 1953 1954 1955 1956 1957 1958 1959 1960 1961 1962 1963 1964 1965 1966

WILL PROBABLY INFLUENCE DIFF BNL PDS IN THE NEAR FUTURE AS WELL

1960 1970 1980 1990 2000 2010 2020 2030

— 8 —

1990-91-92-93-94-95-96-97-98-99

在於此，故其後人之學，亦復以爲子思之傳也。

卷之三

日本書紀傳 卷之三

卷之三

卷之三

卷之三

卷之三

卷之三

卷之三

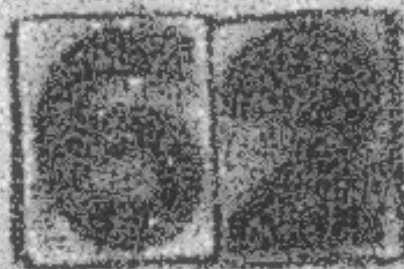
卷之三

1974 1975 1976 1977 1978 1979 1980 1981 1982 1983 1984 1985 1986 1987

8-25-2004 9:46:00 AM

Suppl. 2000-2001 2001-2002 2002-2003 2003-2004 2004-2005 2005-2006 2006-2007 2007-2008 2008-2009
+
2. 20 6234 6. 2007-2008 6. 2007-2008

FIN



VUEA